

Hu-Fe

$3\text{Lu}_2\text{O}_3 \cdot 5\text{Fe}_2\text{O}_3$ BP-1543-VIII 1962

Harris A.B., Meyer H.

(CP)

Phys. Rev., 1962, 127, N1,
101-18.

$TbFe_2$, $LuFe_2$, $YbCo_2$, $LuCl_2$, 1965
 $TmNi_2$, $LuNi_2$, $TbFe_5$, $LuFe_5$.
(кристалл. синтез)

Франкельсон Н. В., Мелюков
Н. И., Франкельсон Д. Н.,
Кристианович Рабин,
1965, 10, № 3, 422

РХ, 1965, 21 Б 161

ст

$R_2 Fe_{17}$ ($R = P3\bar{2}1$) (Красн. Сир-Ра)
1965

Краснодар края
Городской округ
Д. Н. Заречное с. л.

Белоруссия
Могилевская обл.
Городской округ
Слуцк. Усл-Ж. Сеп. 21,

1965, стр. 8, 61.

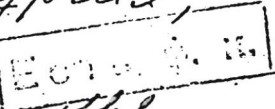
114

PK, 1966, 185562

$R_6 \text{ Thz}_23$ ($R = \text{Pr}, \text{Nd}, \text{Sm}, \text{Gd}, \text{Tb Dy}$,
 $\text{Ho}, \text{Er}, \text{Tm}, \text{Lu}, \text{Y}$). $\text{VIII} 4/19$

$R_6 \text{ Fe}_{23}$ ($R = \text{Gd}, \text{Tb}, \text{Dy}, \text{Ho}, \text{Er}, \text{Tm}, \text{Yb}$,
 Lu, Y) (кручен. сеп-па)
Академик Н. Н. Севастьянов
Д. Н., Воронцов Ю. В.
нарком. науки АзССР, 1965,

1965, № 11, 55-61



РХ, 1966, 855 320

Dy₂Fe₁₇, Ho₂Fe₁₇, Er₂Fe₁₇, Tm₂Fe₁₇, VIII 4076
Lu₂Fe₁₇, CeFe₇, PrFe₇, NdFe₇, SmFe₇, 1966
Y₂Fe₁₇, YFe₇, Yd₂Fe₁₇, GdFe₇, Tb₂Fe₁₇, TbFe₇

(Tm?), spccis. cusp-pa, Tc)

Gschat K., Hoffer G., Ray O. S.,
1968 Trans. Magnet.,
1966, 2, no 3, 489-493

P. 11, 111

P.M. 1967 321211

LuFeO_3

1970

Apostolov, A. et al.

Colloq. Int. Cent. Nat. Rech. Sci.
1970, No. 180, 403-16.

(cp)

• (crys. PrFeO_3 ; I)

VII 4862

1970

$P_{2,} Fe_{17}, Gd_2Fe_{17}, Tm_2Fe_{17}, Lu_2Fe_{17}$

T_{t_2}

Levinson Lionel M., Rosenberg E,
Shaulov A., Shtrikman S, Strnat K.
"J. Appl. Phys." 1970, V1, N3, 910-912
(1970)

Межсебяузыщесе изучение некоторых
свойственных магнитн.-металл.
[типа] 2-17
РМ, 1970, № 245. ○ Ad

PmFe_1 , PmFe_3 , $\text{Pm}_6\text{Fe}_{23}$, $\text{Pm}_2\text{Fe}_{17}$ VIII 5667 1972
 LuFe_2 (Pm)

Коченчукко В. З., Перехода В. П., Сабурукин?
С.И.

Медиев. Убенк. Мегж. и Скаавоф

1972, 31-3 9

Разовые
чайки-шакло  мозги сказов
и  мозги сказов
кубезий-шакло
СА, 1973, № 2, 10405f.

M[Fe(CN)₆] (M = Pr, Nd, Sm, Eu, Cd,
Tb, Dy, Ho, Er, Tm, Yb, Lu, La) 1972
(ΔG_f ; ΔH_f ; ΔS_f) VIII 5440

J. Inorg. and Nuc. Chem., 1972, 34,
N 1, 205 - 211

Stampfli R., Choppin G. R.

PX72

B. (dp)

GdFe₂, TbFe₂, DyFe₂, HoFe₂, 8 1973.

YFe₂, ErFe₂, TmFe₂, LuFe₂ (Curie).

Бицемб А.М., Никитин С.А., VIII 5985

Савицкий Е.М., Терехова В.Ф., Колесниченко В.Е.

Физ. метал. и металловед. 1973,
36 (5), 965-70 (русс.).

Нагревательные и термостабильные
свойства соединений редкоземельных
металлов с железом.

P

C.A. 1974.80 n 12. 65043n.

Ar (P)

Lu₂ Fe₁₇

1975

Givord D, et al.

(Tor)

Tz. Mezhdunar. Konf.
Magn. 1973 (Pub. 1974)
3, 492-6 (eng)

/ am Ce₂ Fe₁₇; I)

41129.8818
Ph,Ch,TC

31573 02 1974
LuFe₂O₄ #4-7540

Kimizuka N., Takenaka A., Sasada Y.,
Katsura T.

A series of new compounds $A^{3+}Fe_2O_4$

(A=Ho, Er, Tm, Yb, and Lu).

"Solid State Communs", 1974, 15, N 8,
1321-1323

(англ., рез. франц.)

0246 ПИК 1

226 231 0 236

ВИНИТИ

LuFe_2O_4 ; $\text{Lu}_2\text{Fe}_3\text{O}_7$ VIII-5977 1974

16 Б816. Существование двух новых окисленных фаз железа и лютения: LuFe_2O_4 и $\text{Lu}_2\text{Fe}_3\text{O}_7$. Возможное распространение этих данных на некоторые другие редкие земли. Tappières Nicole, Evrard Omer, Aubry Jacques. Existence de deux nouvelles phases oxygénées du fer et du lutétium: LuFe_2O_4 et $\text{Lu}_2\text{Fe}_3\text{O}_7$. Extension possible à quelques autres terres rares. «C. r. Acad. sci.», 1974, C278, № 4, 241—242 (франц.)

(T_{tr})

Изучена при 1000° система Fe—Lu—O. В системе обнаружены след. тройные соединения: LuFeO_3 , LuFe_2O_4 (I) и $\text{Lu}_2\text{Fe}_3\text{O}_7$ (II), причем I и II получены впервые. I может быть синтезирован восстановлением при 900° в течение 24 час. смеси Lu_2O_3 (III) + $2\text{Fe}_2\text{O}_3$ (IV) в атмосфере $\text{H}_2 + \text{H}_2\text{O}$ (23% H_2) или прокаливанием в вакууме (10^{-6} мм) при 900° в течение 24 час. смеси III +

X. 1974 n 16

$+5/3$ IV $+2/3$ Fe. II может быть синтезирован восстановлением при 1000° в течение 24 час. смеси III + $3/2$ IV в атмосфере $H_2 + H_2O$ (6,1% H_2) или прокаливанием в вакууме (10^{-6} мм) при 1000° в течение 24 час. смеси III + IV. I и II чер. цвета, ферромагниты с т-рой Кюри -36 ± 2 и $16 \pm 2^\circ$ соотв. Хим. анализом подтвержден состав и существование в молекулах I и II атомов железа с различной степенью окисления: I = $LuFe^{2+}Fe^{3+}O_4$, II = $Lu_2Fe^{2+}Fe_2^{2+}O_7$. Соединения типа $LnFe_2O_4$ известны для $Ln = Yb$, Tm, Er, Ho и V, а соединения типа $Ln_2Fe_3O_7$ — только для $Ln = Yb$. Соединения типа $LnFeO_3$ и $Ln_3Fe_5O_{12}$ относятся соотв. к структурному типу перовскита и граната.

С. С. Плоткин

~~LuFe₂O₄~~, ~~Lu₂Fe₃O₇~~, ~~LuFeO₃~~ 1976

Lu₃Fe₅O₁₂

(46f)

84: 156354p Phase equilibria in the system iron-iron (III) oxide-lutetium oxide at 1200°C. Sekine, Toshimori; Katsura, Takashi (Dep. Chem., Tokyo Inst. Technol., Tokyo, Japan). *J. Solid State Chem.* 1976, 17(1-2), 49-54 (Eng). Phase equilibria in the system Fe-Fe₂O₃-Lu₂O₃ were established at 1200°. The following phases were stable: lutetium sesquioxide, hematite, magnetite, wustite, metallic iron, lutetium-iron-perovskite, lutetium-iron-garnet, LuFe₂O₄, and Lu₂Fe₃O₇. The std. free energy of formation from the metallic iron, Lu₂O₃, and O at 1200° of LuFe₂O₄, Lu₂Fe₃O₇, LuFeO₃, and Lu₃Fe₅O₁₂ is -100.3 ± 0.2, 158.2 ± 0.2, -57.5 ± 0.3, and -279.1 ± 0.5 kcal//mole, resp.

4-12609

XVIII-908

C.A.1976 84N22

LuFe_2

1979

Butera R. A. et al

Cp

J. Appl. Phys., 1979, 50,
n11, Part 2, 7492-4

C

Cue CdFe₂; I

LuFe_2

Lommack 11525 | 1981

Bermano D. J.;
et al.

C_p ; m.g.u.
cb-ba

J. Solid State Chem.,
1981, 37, 383 - 89.

LuFe₂

1979

Germann, S.J. et al

J. Appl. Phys., 1979, 50,
Cp III, Part 2, 4495-7



CuMoFe₂; I

LuFe_2

Omnuck 18061

1981

Germano D.Y., Butera R.A.

C_p ,
 $\frac{1}{T}G$,
сірникітапа Phys. Rev. B: Condens. Ma-
tter, 1981, 24, N^o 3912-3927.

Луғез

(Оммук 15559)

1982

Pfranger R., Plusa D.,
Szymura S., et al.

Кристалл.

Структура, Post. fiz., 1982, 33,

Te,

маркир.

Cb-Ba

N3, 111-131.

LuFeO_3 1983

$\text{Lu}_3\text{Fe}_5\text{O}_{12}$ Kimizuka Noboru,
Yamamoto Akiji, et al.

ΔG , ΔH , J. Solid State Chem.,
 ΔS ; 1983, 49, N1, 65-76.

(crys. P32-geppum61; I)

Lug Fe₂₃Hx [0m. 19754] 1983

Smith H.K., Wallace W.E.,
et al.,

SH, DS;

J. Less-Common Met.,
1983, 94, 89-93.

$\text{Lu}_2\text{Fe}_3\text{O}_7$

1983

jj 16 Б918. Магнитное упорядочение в $\text{Lu}_2\text{Fe}_3\text{O}_7$. Magnetic ordering in $\text{Lu}_2\text{Fe}_3\text{O}_7$. Tanaka Midori, Kimizuka Noboru, Akimitsu Jun, Funahashi Satomi, Siratori Kiiti. «J. Magn. and Magn. Mater.», 1983, 31—34, Pt 2: Proc. Int. Conf. Magn., Kyoto, 6—10 Sept., 1982. Pt 2, 769—770 (англ.)

С помощью нейтронографич. метода порошка и эффекта Мессбауэра исследовано магнитное превращение в $\text{Lu}_2\text{Fe}_3\text{O}_7$ (4,2—722 К). Нейтронографич. данные указывают на наличие двумерного дальнего порядка. Т-рная зависимость интенсивностей дает $T_N \approx 300$ К при отсутствии дополнительных аномалий ниже T_N . По мессбауэрским данным происходит два перехода — при 260 К (упорядочение W-слоев) и при 60 К. Вопрос об упорядочении в V-слоях остается открытым.

С. Ш. Шильштейн

X. 1983, 19, N 16



$\text{Lu}_2\text{Fe}_3\text{Si}_5$

1983.

98: 150505f Low-temperature heat capacity of superconducting ternary iron silicides. Vining, C. B.; Shelton, R. N.; Braun, H. F.; Pelizzzone, M. (Dep. Phys., Iowa State Univ., Ames, IA 50011 USA). *Phys. Rev. B: Condens. Matter* 1983, 27(5), 2800-6 (Eng). The low-temp. heat capacities of superconducting ternary iron silicides $\text{Lu}_2\text{Fe}_3\text{Si}_5$ [73379-35-8], $\text{Sc}_2\text{Fe}_3\text{Si}_5$ [63144-40-1], and $\text{Y}_2\text{Fe}_3\text{Si}_5$ [66456-91-5] were measured, revealing several anomalous properties of the superconducting state of these materials. These materials show a large linear term in the superconducting heat capacity and a reduced normalized jump in the sp. heat at T_c . A two-band model is proposed to explain these properties and previously reported anomalous properties of superconducting ternary iron silicides.

C_p^0

(#2) 8



C.A. 1983, 98, N18.

Lu₂Fe₃Si₅ (Jm. 21954) 1985

103: 43690n Specific heat and critical field for some iron-containing superconductors. Stewart, G. R.; Meissner, G. P.; Segre, C. U. (Mater. Sci. Technol. Div., Los Alamos Natl. Lab., Los Alamos, NM USA). *J. Low Temp. Phys.* 1985, 59(3-4), 237-45 (Eng). Sp. heat measurements on superconducting Lu₂Fe₃Si₅ [73379-35-8] reveal a strong sample dependence of the residual sp. heat contribution γ_* , below T_c , effectively ruling out the possibility of a 2-band model. Upper crit. field H_{c2} results for Lu₂Fe₃Si₅, Sc₂Fe₃Si₅, and LaFe₄P₁₂ show a very large H_{c2} with an unusual temp. dependence for Lu₂Fe₃Si₅, in contrast to the latter 2 compds., implying a strongly sample-dependent H_{c2} as well. Intrinsic magnetic impurities arising from structural disorder and defects are possibly the origin of these anomalous superconducting state properties of Lu₂Fe₃Si₅.

Gj

(+3) ✓

C.A. 1985, 103, N6

Lufex H₂, 41 1988,

Meki, Mitsuo; Kobori,
Keiichi. Jpn. Kokai
Tokkyo Koho JP 60,208,447

Cp, mercury. [85, 208, 447] (Cl. C22C29/02),
GB-UK 21 Oct 1985, Appl. 84/65, 521

02 Apr 1984. Sintered alloy having high

C.A. 1986, 104, N22, 191269d

toughness.



Lu₃FeSi₆

1986

6 Б2068. Кристаллическая структура соединения Lu₃FeSi₆. Кривуля Л. В., Бодак О. И., Гореленко Ю. К. «Изв. АН СССР. Неорг. матер.», 1986, 22, № 11, 1922—1924

Методом порошка (λ Fe, R 0,126) исследована кристаллическая структура Lu₃FeSi₆ (I). Определены параметры ромбич. решетки I: a 0,3939; b 1,5259; c 0,3829 нм, ф. гр. *Cmcm*. Кристаллическая структура I, в к-рой наблюдается дефект по железу, занимает промежуточное положение между структурными типами CeNiSi₂ и ZrSi₂. Его можно рассматривать как дефектную производную типа CeNiSi₂ или структуру внедрения по отношению к ZrSi₂.

Из резюме

*Кристал
структура*

X. 1987, 19, №.

$\text{Eu}_3\text{Fe}_5\text{O}_{12}$ 10m. 253% O 1986

Резюмировано И. А., Смирнова -
рова С. Е. и др.,

Эксперимент
Кристалл.

УЗб. АН СССР. Материалы.
засед., 1986, 22, № 12,
2037-2042.

(c.u. $\text{Eu}_3\text{Fe}_5\text{O}_{12}$; I)

LuFe₂H_{2,41}

DM 23660

1986

16 Б3018. Теплоемкость и термодинамические функции $\text{LuFe}_2\text{H}_{2,41}$ и $\text{ErFe}_2\text{H}_{2,41}$. Heat capacity and thermodynamic functions of $\text{LuFe}_2\text{H}_{2,41}$ and $\text{ErFe}_2\text{H}_{2,41}$. Wise K. M., Butera R. A. «J. Solid State Chem.», 1986, 62, № 1, 47—56 (англ.)

В интервале т-р 1,5—300 К в адиабатич. и импульсном калориметре измерена теплоемкость $\text{LuFe}_2\text{H}_{2,41}$ (I) и $\text{ErFe}_2\text{H}_{2,41}$ (II). Низкот-рные теплоемкости описаны ур-нием $C_p = \gamma T + \beta T^3$, коэф. к-рого γ и β составили для I ниже 5,5 К 0,03113 и $4,79 \cdot 10^{-4}$, для II ниже 6,5 К 0,03574 и $7,24 \cdot 10^{-4}$; $\theta_D = 230,0 \pm 0,7$ и $200,4 \pm 0,4$ К соотв. Отмечено, что величины γ для гидридов выше, чем для соотв. металлич. фаз Лавеса. Значения C_p , $H_T^\circ - H_0^\circ$ и S_T° табулированы с шагом 10 К. При 295 К для I они составили 117,44, 20326,2 и 137,60; для II при 300 К соотв. 115,47 Дж/моль·К, 22401,5 Дж/моль и 163,74 Дж/моль·К. Заметный рост C_p гидридов выше 250 К связывается с приближением к т-ре магн. разупорядочения (~ 500 К). С использованием лит. данных рассчитаны различия энタルпий и энтропий гидридов и соотв. металлич. фаз при 285 К: для I 4384 Дж/моль и 31,3 Дж/моль·К, для II соотв. 3615 и 30,86. А. С. Гузей

G, S;

(4) ~~Ex~~

X.1986, 19, N16

LuFe₂H_{2,41}

Он 23660

1986

8 Е351. Теплоемкость и термодинамические функции $\text{LuFe}_2\text{H}_{2,41}$ и $\text{ErFe}_2\text{H}_{2,41}$. Heat capacity and thermodynamic functions of $\text{LuFe}_2\text{H}_{2,41}$ and $\text{ErFe}_2\text{H}_{2,41}$. Wise K. M., Butera R. A. «J. Solid State Chem.», 1986, 62, № 1, 47—56 (англ.).

Теплоемкость $\text{LuFe}_2\text{H}_{2,41}$ и $\text{ErFe}_2\text{H}_{2,41}$ измерена в интервале т-р от 1,5 до 300 К с помощью импульсного и адиабатического калориметров. Отмечается, что в температурной зависимости теплоемкости обоих соединений можно выделить три характерных участка: 1) ниже 7 К имеются небольшие аномалии; 2) непрерывное плавное возрастание до 250 К и 3) тенденции к быстрому росту выше 250 К. Предполагается, что возрастание теплоемкости выше 250 К обусловлено приближением к магнитному фазовому переходу. Полученные данные сравниваются с температурной зависимостью теплоемкости Er_2O_3 , в котором обнаружен четко выделенный λ -переход. Рассчитаны значения $(H_t^0 - H_{t_0}^0)$, S_t^0 и Θ_D .

А. П. Рыженков

9. 1986, 18, № 8

LuFe_2

1987

Барабанова Е. А.,
Преображенский Н.Ю.

Тюл. индустрия. ии-м. Тю-
мень, 1987. 10 с. Библиогр.

ΔH_f , 12 наим. Рус. (Рукопись
 ΔS_f ; gen. 6 ОНИУТЭХИМ, Чер-
кассы 13.10.87, N1157-Xn
87). (ав. SmFe_2 ; ?)

LuFe_2O_4

1987

108: 6750sp High field magnetization of single crystal lutetium iron oxide (LuFe_2O_4). Iida, Junji; Nakagawa, Yasuaki; Takekawa, Shunji; Kimizuka, Noboru (Inst. Mater. Res., Tohoku Univ., Sendai, Japan 980). *J. Phys. Soc. Jpn.* 1987, 56(10), 3746-7 (Eng). The magnetization was studied of LuFe_2O_4 at 4.2-250 K in fields of 0-150 kOe. At 4.2 K, field cooling is obsd. At higher temps., the hysteresis is relatively unaffected by the field cooling. No hysteresis is obsd. at >200 K. The Neel point is 220 K. The extrapolated moment at 0 K is $2.8 \mu\text{B}$. The thermoremanent magnetization decreases as the temp. increases.

(T_N')

C.A. 1988, 108, N8

$Y_3Fe_5O_{18}$ 1988
блоков Р.Н.,
Шибаков Е.В. УГРП.

6 Всеэ. Совещ. по металлоидам.
Уральск. ферросплавы, 15-17
сент., 1988: Тез. докт. Уфимо-
-Франковск, 1988. с. 19.

(cell. $Y_3Fe_5O_{18}$; I)

Lu₂Fe₁₄C

1990

12 Б2036. Кристаллическая и магнитная структура Lu₂Fe₁₄C, материала с постоянными магнитными свойствами. Crystal and magnetic structure of the permanent magnet material Lu₂Fe₁₄C / Hellwic Ch., Girgis K., Schefer J., Buschow K. H. J./, Fischer P. // J. Less-Common Metals.— 1990.— 163, № 2.— С. 361—368.— Англ.

С применением методов металлографии, порошковой рентгенографии и нейтронографии при 623, 295 и 23 К исследована крист. и магн. структура тетрагон. Lu₂Fe₁₄C (I) полученного из элементов плавлением в электрич. дуге с послед. выдержкой при 900° С в вакууме. Для I из данных рентгенографии a 8,7137 c 11,722 Å, ф. гр. $P4_2/mnm$, СТ Nd₂Fe₁₄B, из данных нейтронографии параметр a при охлаждении до 23 К характеризуется уменьшением на 0,0013 Å, а параметр c на 0,014 Å, магн. моменты ориентированы параллельно оси z , их ориентация не зависит от температуры. А. Н. Земенкова

Структура

X. 1991, N/2

Lud Ferri B Luis F., Mate B., 1991
Lud Ferri C et al.,

G. Glorie J. Man. Mag. Mater
1991, 101 (1-3), 414-16

(all. ● Nd₂Fe₁₄B; \bar{I})

~~Ли3Fe~~

$\text{Lu}_3\text{Fe}_5\text{O}_{12}$

1997

) 24Б352. Теплоемкость и ферромагнитное превращение феррограната лютения / Мирианашвили Т. Б., Варазашвили В. С., Царахов М. С., Павленишвили Т. А. // Ж. неорган. химии.— 1997.— 42, № 6.— С. 1026–1028.— Рус.

Теплоемкость феррограната лютения $\text{Lu}_3\text{Fe}_5\text{O}_{12}$ определена в области 300–900 К на калориметре DSC-ПП. Выявлено ферромагнитное превращение с точкой Кюри при 531,5 К. Предложен метод выделения магнитной части теплоемкости и определены энтропия и энталпия ферромагнитного разупорядочения.

Cp

(300–900 K)

X. 1997, N 24

$\text{Lu}_3\text{Fe}_5\text{O}_{12}$

1997

128: 53874f Low-temperature anomalies in specific heat of magnetic transformations of rare earth iron garnets. Varazasvili, V. S.; Tsarakhov, M. S.; Mirianashvili, T. B. (Inst. Neorg. Khim. i Elektrokhim., AN Gruzii, Tbilisi, Georgia). *Zh. Neorg. Khim.* 1997, 42(4), 673–675 (Russ), MAIK Nauka. Low-temp. heat capacity of the rare earth iron garnets $\text{Lu}_3\text{Fe}_5\text{O}_{12}$ and $\text{Gd}_3\text{Fe}_5\text{O}_{12}$ was measured at 5–280 K. A heat capacity anomaly was found in the low-temp. point T_1 . The heat capacity anomaly was attributed to changes of magnetic order in the sublattice of the yttrium-group rare earth iron garnets.

5–280 K

D

⑦

$\text{Gd}_3\text{Fe}_5\text{O}_{12}$

P.A. 1998, 128, N5

$\text{Lu}_3\text{Fe}_5\text{O}_{12}$

(Ch. 42115)

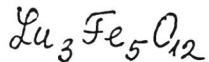
1998

128: 262515d Low-temperature heat capacity and thermodynamic functions of lutetium ferrogarnet. Mirianashvili, T. B.; Varazashvili, V. S.; Tsarakhov, M. S.; Gavrichev, K. S.; Golushina, L. M.;

Gorbunov, V. E.; Tsagareishvili, D. Sh. (Inst. Neorg. Khim. Elektrokhim. im. R.I. Agladze, Tbilisi, Georgia). *Zh. Fiz. Khim.* 1998, 72(1), 16–18 (Russ), MAIK Nauka. Heat capacity of lutetium ferrogarnet $\text{Lu}_3\text{Fe}_5\text{O}_{12}$ was measured by adiabatic calorimetry at 12.25–301.75 K. Thermochemical functions of $\text{Lu}_3\text{Fe}_5\text{O}_{12}$ were calcd. from heat capacity values: $C_p^\circ(298.15 \text{ K}) = 424.9 \pm 0.9 \text{ J/(mol}\cdot\text{K)}$, $H^\circ(298.15 \text{ K}) - H^\circ(0) = 69,290 \pm 150 \text{ J/mol}$, $S^\circ(298.15 \text{ K}) = 416.1 \pm 1.0 \text{ J/(mol}\cdot\text{K)}$, $\Phi^\circ(298.15 \text{ K}) = 183.7 \pm 3.6 \text{ J/(mol K)}$.

$(P, H_{298.15}^\circ)$
 S°, Φ°

CA. 1998, 128, N21



(Am. 42.115)

1998

C_p Мирчанашвили T.15, и 6 соавторов
12-302K ЖГХ, 1998, 42, N1, с. 16-18

$$C_{298} = 424.9 \pm 0.9 \text{ J/K}$$

$$H_{298} - H_0 = 69290 \pm 150$$

$$S_{298} = 416.1 \pm 1.0$$

$$C_p' = 183.4 \pm 3.6$$

Оценка мин. возможн
диспергации
др. РЗМ!

F: Lu₃Fe₅O₁₂

P: 1

Om. 42115/

1998

16Б312. Низкотемпературная теплоемкость и термодинамические функции феррограната лютения / Мирианашвили Т. Б., Вәразашвили В. С., Цараков М. С., Гавричев К. С., Голушкина Л. Н., Горбунов В. Е., Цагарейшвили Д. Ш. // Ж. физ. химии. - 1998. - 72, 1. - С. 16-18. - Рус.

Теплоемкость феррограната лютения Lu[3]Fe[5]O[12] измерена методом адиабатической калориметрии в области 12,25-301,75 К. Термодинамические функции Lu[3]Fe[5]O[12] рассчитаны по сглаженным значениям теплоемкости: C{ 0}[p](298,15 K)=424,9+-'0,9 Дж/(моль*K); H{ °}(298,15 K) - H{ °}(0)=69290+-'150 Дж/моль; S{ °}(298,15 K)=416,1+-'1,0 Дж/(моль*K); 'ФИ' { °}(298,15 K)=183,7+-'3,6 Дж/(моль*K).